

K-S-O

IX - 3096

1864

BaS_2O_3 ; $K_2S_2O_3$; $Na_2S_2O_3$ (C_P)

Pape C.,

Poggendorf's Ann., 1864, 122, 408

Über die spezifische Wärme untezschwef-
tigsaure Salze:



5

Kennu N° 584

1884

3230

Berthelot

Ann. chim. phys. 1, 81 (1884)

K₂S₂O₅, K₂S₂O₅·1½H₂O(kp, p-p, ΔHf°)

W, M

BP - 529 - VII

1884.

KSO₃

3

Berthelot et

KSO₂O₅

KSO₂O₇

(OH)

"Ann. Chim. Phys"

1884, выпуск T 1

О несмачиваемых...

3294

1889

Berthelot ³²²⁴ M.R.,
 105. Ann. chim. phys. I7, 430 (1889)

K₂S₅O₆; p-p; ΔH_f[°];

-491

Circ. 500

W



err q.x ²
err q.p. q.p

3225

Berthelot - 109 M., 1892

Ann. chim. phys., 26, 526 (1892).

 $K_2S_2O_8$; KP; ΔH_f° ;~~erroneous~~ ✓ P.K.

✓ Q

B.M. +1

3319

1923



Martin and Metz

1. Z. anorg. und allgem. Chem., 127,
83, 1923

M

Circ. 500

3261

1935

K₂S₂O₆ (ρ-ρ, ΔΗ[°]0)

Денисов Н., Ротк В.А.

Ж. анал. Chem., 1935, 224, 253
256

Есть ф.к.

Лит. 500

W

есть ф.к.

1957

1293

KHSO₄, K₂S₂O₇ (Tm, P, F^O 298)

Hagisawa H., Takai T.

Bull. Inst. Phys.-Chem. Research
(Tokyo) 16, 29-41 (Abstracts (in English)
7 in Sci. Papers Inst. Phys.-Chem. Research
(Tokyo) 31, No 677-82(1937)

"Potassium bisulfate

C.A., 1937, 65408

M, Be

1938

3182

$\text{In}(\text{K}_2\text{SO}_4, \text{K}_2\text{S}, \text{K}_2\text{SO}_4 \cdot 3\text{H}_2\text{O})$

Goubeau J., Kolb H., Krall H. G.
Z. anorg. allgem. Chem., 1938, 236,
45-56

"The system potassium ..."

C. A., 1938, 4051⁹

Be

E

K₄SO₂

V 2621

1941

Høgstr. ($\text{Li}_2\text{S}_2\text{O}_7$, $\text{K}_2\text{S}_2\text{O}_7$, $\text{Na}_2\text{S}_2\text{O}_7$, $\text{Ag}_2\text{S}_2\text{O}_7$)

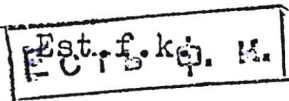
Flood H., Forland T.

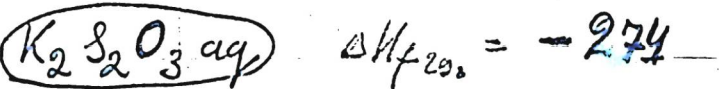
Acta Chem. Scand. 1941, 1, 781-9 (in English)

The acidic and basic properties of oxides.
The thermal decomposition of pyrosulfates.

CA, 1948, 806li

M.





бесцветно.

MS, circ. 500,

Оценка $\Delta H_f^{298}(K_2S_2O_3, \text{ крист})$ $\left[-272 \pm \right]$

$Na_2S_2O_3 - 262,0$	$\} 2,0$	$K_2S_2O_3 \quad [-272]$
$Na_2S_2O_3 \text{ aq} - 269,0$	$\} 1,0$	$K_2S_2O_3 \text{ aq} - 274$

~~KCl~~

B99-1176-X

1951

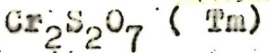
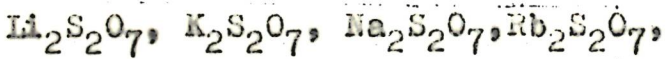
K₂SO₃. Brady A. P. et al.

(P) Z. Phys. Colloid Chem.
1951, 55, 389-11.

268

VII 3141

1952



Спицын Ф.И., Мееров М.А.,

Ж.общей химии 1952, 22, 905-12

Пиросульфаты щелочных ...

Be

P.K. 1858

1956

$\text{Na}_2\text{S}_2\text{O}_3$; $\text{K}_2\text{S}_2\text{O}_3$, CaS_2O_3 ; $\text{Mg. S}_2\text{O}_3$;
 $\text{Fe S}_2\text{O}_3$ (Kdiss)

Besan Y.L., Monks C.B.,

J. Chem. Soc., 1956, June, 1392-6

Ans

P.K., 1957, 3912

Hildenbrand D.L.
Hildenbrand u. J.

1959

Kazbegi BKT, № 45

Cp

14-296

$K_2S_2O_8$

1960₂

J.E. Dergazarian, D.L. Hildenbrand, W.E.
Hutton, R.A. McDonald, G.C. Sinke, D.R. Stull

Cp,
14-296°K

5X1, 1960₂. v3 Cfp. 33.

K2 Saloy

(B.G.Z)

1962

B.P. 3857-2

Flood H. Boys. N.C.

2. Blertocheui.

1962, 66, No, 184-9

K₂S₂O₈(тв)

1962

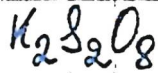
2Б336. Термохимия персульфата калия и водного иона персульфата. Hu Teh, Hepler L. G. Thermochemistry of potassium peroxidisulfate and of peroxydisulfate aqueous ion. «J. Chem. and Engng Data», 1962, 7, № 1, 58—59 (англ.)

ДМР

В калориметре (сосуд Дьюара) измерена при 25° энталпия растворения K₂S₂O₈ (тв.) в воде в интервале конц-ий 1,0—2,5 моля K₂S₂O₈ на 950 мл H₂O. С использованием справочных данных по энталпиям разбавления рассчитана энталпия растворения K₂S₂O₈ до бесконечно разб. р-ра, равная 16,14 ± 0,12 ккал/моль. Измерена также растворимость K₂S₂O₈ при 20, 25 и 30° и плотность насыщ. р-ров. С использованием литературных данных рассчитаны стандартная энталпия образования иона S₂O₈²⁻ (aq ∞) — 320,56 ккал/моль; стандартная свободная энергия растворения K₂S₂O₈ (тв.) 3,73 ± 0,24 ккал/моль; энтропия растворения K₂S₂O₈ (тв.) 41,6 энтр. ед.; стандартная парц. мольная энтропия S₂O₈²⁻ (aq ∞), 59,5 энтр. ед. и стандартная свободная энергия образования K₂S₂O₈ (тв.) и S₂O₈²⁻ (aq ∞), соответственно равная —404,68 и —266,01 ккал/моль. Полученные результаты обсуждены. А. Воробьев

X. 1963. 25

1962



Thermochemistry of potassium peroxydisulfate and of peroxydisulfate aqueous ion. Teh Hu and L. G. Hepler (Univ. of Virginia, Charlottesville). *J. Chem. Eng. Data* 7, No. 1, 58-9(1962). The heat of soln. of cryst. $\text{K}_2\text{S}_2\text{O}_8$ was reinvestigated and cor. The new value given is $\Delta H^\circ = 16.14 \pm 0.12$. The standard enthalpy of formation of $\text{S}_2\text{O}_8^{2-}$ aq., the standard free energy of formation of cryst. $\text{K}_2\text{S}_2\text{O}_8$, and $\text{S}_2\text{O}_8^{2-}$ aq. were calcd. to be, resp., = 320.56, -404.68, and 266.01 kcal./mole.

J. A. Aboaf

C.A.1962.57.1.
145B

Сульфиты

K_2SO_3

1963

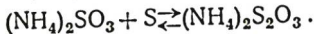
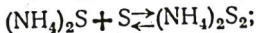
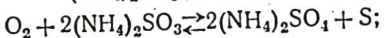
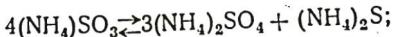
13 В21. Термическое разложение сульфитов некоторых металлов. Сообщение IV. Сульфиты калия, лития, аммония. Castellani Bisi Cagia, Res Garrini Egminia. Decomposizione termica di alcuni solfiti metallici. Nota IV. Solfiti di potassio, litio, ammonio. «Gazz. chim. ital.», 1963, 93, № 10, 1252—1258 (итал.)

Изучено термич. разложение сульфитов K и Li в токе N_2 при атмосферном давлении и термич. разложение сульфита NH_4 в замкнутом пространстве. K_2SO_3 в интервале 800—950° только диспропорционирует на сульфат и сульфид в отношении 3:1. Выше 950° это отношение увеличивается, образуется свободная S, по-видимому, при высокой т-ре имеет место диссоциация K_2SO_3 на K_2O и SO_2 , затем р-ции $3SO_2 \rightleftharpoons 2SO_3 + S$ и $SO_3 + M_2O \rightleftharpoons M_2SO_4$. Li_2SO_3 в интервале 650—900° разлагается в основном за счет р-ции диспропорционирования; при этих т-рах диссоциация ничтожна, побочных р-ций нет. При термич. разложении $(NH_4)_2SO_3$ образуется темно-оранжевая смесь, быстро обесцвечивающаяся на воздухе и в водн. и спирт. среде с выделением NH_3 , H_2S и S. В р-ре обнаружены сульфид, сульфит, сульфат, свободная S и

Термич.
разложение

Х. 1965. 13

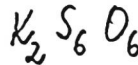
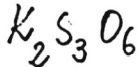
тиосульфат, образующийся в значительной степени уже в р-ре за счет р-ции между S и сульфитом. Образование перечисленных выше продуктов объяснено р-циями:



Проведено сравнение изученных систем с системами, образованными сульфитами щелочноземельных металлов, а также Na_2SO_3 . Сообщение III см. РЖХим, 1963, 10Б529.

И. Семенов

1964



ЗД180. Физические характеристики сульфан-ди-сульфонатов от $K_2S_3O_6$ до $K_2S_6O_6$; УФ-поглощение водных растворов сульфан-дисульфонатов. Schmidt M., Sand T. Physikalische Charakteristierung der Sulfandi-sulfonate $K_2S_3O_6$ bis $K_2S_6O_6$; UV Extinktionen wässriger Sulfan—Disulfonatlösungen. «J. Inorg. and Nucl. Chem.», 1964, 26, № 7, 1173—1177 (нем.; рез. англ.)

Приводятся УФ-спектры поглощения сульфан-дисульфонатов (I) от $K_2S_3O_6$ до $K_2S_6O_6$. Сравнивая ход молярного коэф. поглощения для кислот и их калиевых со-лей в области длин волн 220—340 мк, авторы делают вывод, что метод УФ-спектроскопии пригоден для обнаружения отдельной компоненты в растворе нескольких I и определения ее конц-ии. Ошибка метода $\pm 10\%$. Э. Б.

96. 1965. 30

1965

8 - непрерывн.

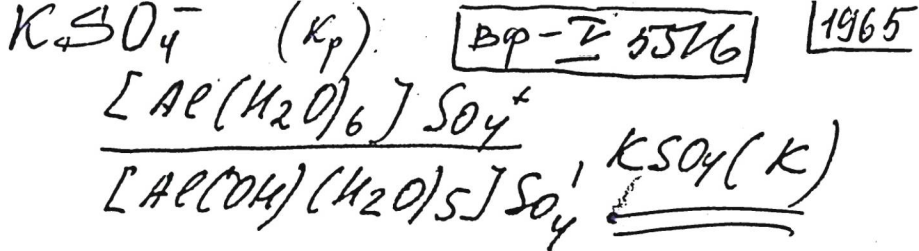
K₂S₂O₈

Thermochemistry of persulfate aqueous solutions. I. Thermodynamic characteristics of the system persulfate-sulfite. T. V. Fomina, I. E. Flis, and N. P. Dymarchuk. *Tr. Leningr. Tekhnol. Inst. Tsellyulozn.-Bumazhn. Prom.* No. 16, 74-8(1965) (Russ). The reaction between K₂S₂O₈ and Na₂SO₃, which takes place the most rapidly at pH 7 (Na₂HPO₄-NaH₂PO₄ buffer), was studied at 10, 25, 35, and 50°. The curves expressing the variation of the temp. with the time show that 2 reactions occur simultaneously: one with heat absorption and the other with heat liberation. Heat absorption occurs during diln. and mixing of the sulfite with the persulfate after the breaking of the ampul; heat liberation occurs during the reaction between K₂S₂O₈ and Na₂SO₃. Treatment of the data of calorimetric expts. by the least-sqs. method gave the following dependence of the heat

C.A. 1966. 64. 11.
15077 fgh

effect of the reaction on the temp.: $\Delta H = 359.319 - 3.40885T + 0.006033T^2$, which, placed in the isobaric equation of the chem. reaction and after integrating gave: $\Delta F_I^\circ = 359.319 + 3.40885T \ln T - 0.006033T^2 + IT$. The value of ΔF_I° was calcd. from published data: -90.73 kcal./mole, and the integration const. I was detd.: -20.9161. ΔH (kcal./mole), ΔF (kcal./mole), and ΔS (e.u.) are given, resp., for the reaction: $K_2S_2O_8 + Na_2SO_3 + H_2O \rightleftharpoons H_2SO_4 + K_2SO_4 + Na_2SO_4$, at 10° : -120.50, -117.58, -10.53; at 25° : -119.06, -90.73, -95.07; at 35° : -116.27, -71.20, -146.33; and at 50° : -110.23, -40.22, -216.75. 20 references.

Jean Plumondon



Nishide T. Tsuchiya R.

Bull. Chem. Soc. Japan.

1965, 38(8) 1398-400

1966
 $K_2S_3O_{10}$

Reaction of liquid sulfur trioxide with phosphates. S. N. Kondrat'ev and S. I. Mel'nikova (S. M. Kirov Chem.-Technol. Inst., Kazan). *Zh. Neorgan. Khim.* 11(4), 790-6(1966)(Russ). The interaction of liquid SO_3 with $K_5P_3O_{10}$, $Na_5P_3O_{10}$, and Na polyphosphate, $(NaPO_3)_n$, was studied. SO_3 was taken in excess; the phosphates were ground and dried. The reactions took place at 80-90° in a sealed ampul. Since the reaction products are highly hygroscopic, all operations were carried out in a sealed chamber filled with dry N. On heating $K_5P_3O_{10}$ with an excess of SO_3 , a layer of heavy viscous liquid gradually forms. At a ratio $K_5P_3O_{10}:SO_3 = 1.75$ the reaction probably proceeds according to $2K_5P_3O_{10} + 15SO_3 = 5K_2S_3O_{10} + 3P_2O_5$. The x-ray pattern of the reaction product contains only the line for $K_2S_3O_{10}$. On the thermogram of the reaction mixt. the effect of melting and partial decompr. of $K_2S_3O_{10}$ was found at 200-224°. In pure $K_2S_3O_{10}$ this effect is found at 264-276°. The shift is due to the impurity of P_2O_5 . The reaction of $Na_5P_3O_{10}$ with SO_3 takes place

C. A. 1966-65-1
290gh - 291ab

very slowly and is not finished after 50-hrs. heating. On the Debye patterns of the reaction products, $\text{Na}_2\text{S}_2\text{O}_7$ is found and the 3 strongest lines of nonreacted $\text{Na}_5\text{P}_3\text{O}_{10}$. The following equation is proposed: $2\text{Na}_5\text{P}_3\text{O}_{10} + 10\text{SO}_3 = 5\text{Na}_2\text{S}_2\text{O}_7 + 3\text{P}_2\text{O}_5$. The thermogram shows an endothermic effect at $78\text{--}98^\circ$ corresponding to the elimination of SO_3 and an exothermic effect at $148\text{--}164^\circ$ corresponding to the reaction of nonreacted phosphate with SO_3 liberated during heating, and endothermic effect at $200\text{--}208^\circ$ caused by the intense elimination of the remaining SO_3 , and at $256\text{--}320^\circ$ an endothermic effect owing to the melting of the prepn. with elimination of SO_3 . The reaction of Na polysulfate with SO_3 takes place according to $2\text{NaPO}_3 + 2\text{SO}_3 = \text{Na}_2\text{S}_2\text{O}_7 + \text{P}_2\text{O}_5$. The thermograms show an endothermic effect at $224\text{--}310^\circ$ which is due to melting taking place with elimination of 3.5-4.0% SO_3 , and an endothermic effect at $164\text{--}232^\circ$, probably due to the transformation of the lower phosphate into $\text{Na}_4\text{P}_2\text{O}_7$, and P_2O_5 . The expts. showed no difference between the interaction of liquid SO_3 with simple and condensed phosphates. In both cases elimination of P_2O_5 and formation of the corresponding polysulfates takes place. The heating of the reaction products of SO_3 with $\text{Na}_5\text{P}_3\text{O}_{10}$ or $(\text{NaPO}_3)_n$ to their m.p. is accompanied by the partial loss of SO_3 and the formation of phosphate-sulfate glasses of the type $\text{Na}_2\text{O-P}_2\text{O}_5-\text{SO}_3$.

L. Holl

BP-X-6079

1966

K₈O₂F; Rb₈O₂F; Cs₈O₂F (SHF, Di,
crys/жкмуро)

S. eel. F., Boudier J.,
Z. Anorg. Allgem. Chem., 1966,
342; (3-4), 173 - 6

CA, 1966, 64, N9, 11948a

etc, etc? (P)

etc, p-K

1968

Bazarova
Karakchiev

$K_2S_2O_7$

Tm

54695y Potassium pyrosulfate-vanadium pentoxide system.
Bazarova, Zh. G.; Boreskov, G. K.; Kefeli, L. M.; Karakchiev,
L. G.; Ostan'kovich, A. A. (Inst. Katal., Novosibirsk, USSR).
Dokl. Akad. Nauk SSSR 1968, 180(5), 1132-4 (Russ). The
phase diagram of the system $K_2S_2O_7$ - V_2O_5 was plotted and the
reaction products were analyzed by derivatographic, thermo-
optical, x-ray, and ir spectroscopic methods. The system tends
to strong supercooling up to the formation of glass-like melts
at 50-92 mole % $K_2S_2O_7$, so that the cooling curves could not
be studied. $K_2S_2O_7$ m. 415° and decompn. begins at 420° . In
the presence of V_2O_5 , the decompn. point is lowered. Between
25 and 95 mole %, $K_2S_2O_7$ is decompd. 0.5-1.0% in heating at
 $\leq 400^\circ$ and on heating to 600° at 25-50% $K_2S_2O_7$, it is decompd.
in the amt. of 17-20%. The part of the diagram from 100-

C. A. 1968.

69-14

90% $K_2S_2O_7$ is of the eutectic type. The eutectic corresponding to 92% $K_2S_2O_7$ m. 295° . Between 9 and 50% $K_2S_2O_7$, 2 compds. are formed at the following molar ratios: $K_2S_2O_7:V_2O_5 = 6:1$ (phase A) and $1.25:1$ (phase B). The peritectic melting of phase A takes place at 330° and of phase B at 380° . Thermo-optical anal. led to the assumption of a compd. at the compn. $3:1$, but this phase could not be confirmed by x-ray and ir spectroscopic methods. The 2 phases contain V_2O_5 , K_2O , and SO_3 , but the presence of quadrivalent V cannot be excluded. It is concluded that the active component of V catalysts (at a K:V ratio of 1:2-4) is in the liq. state at the temp. of SO_2 oxidn.

L. Holl

1968

ЗР-Х-3944

KS 0
22 8

11 Б784. Термодинамическая характеристика образования водного персульфат-иона по реакции $K_2S_2O_8$ · Na_2SO_3 и гидролиза персульфата калия. Фомина Т. В., Дымарчук Н. П., Мищенко К. П. «Ж. прикл. химии», 1968, 41, № 11, 2440—2443

Измерены тепловые эффекты р-ций взаимодействия персульфата калия с сульфитом натрия и найдены зависимости ΔH_t и ΔZ_{t^0} этой р-ции от т-ры. Кроме того, вычислены ΔH , ΔZ и ΔS образования воды персульфат-иона ($S_2O_8^{2-}$) в интервале т-р 15—50°, а также ΔZ и ΔS р-ции гидролиза $K_2S_2O_8$ в том же интервале температур.

Автореферат

+1

x. 1969

11

☒

1968

K. S. O.
2 2 8

81640d Thermodynamic characteristics of the formation of a hydrated peroxydisulfate ion in the reaction of potassium peroxydisulfate with sodium sulfite and the hydrolysis of potassium peroxydisulfate. Fomina, T. V.; Dymarchuk, N. P.; Mishchenko, K. P. (Leningrad. Tekhnol. Inst. Tsnellyul.-Bum. Prom., Leningrad, USSR). *Zh. Prikl. Khim. (Leningrad)* 1968, 41(11), 2440-3 (Russ). For the reaction $K_2S_2O_8 + Na_2SO_3 + H_2O = K_2SO_4 + Na_2SO_4 + H_2SO_4$, $\Delta H_T = 19,907.75 - 193.4496T + 0.622399T^2 - 0.00066666T^3$ and $\Delta F_T^0 = 19,907.75 + 193.4496T \ln T - 0.622399T^2 + 0.0033333T^3 - 1012.0795T$. For the formation of $S_2O_8^{2-}$ ion, $\Delta H_T = 1929.99 + 10.5191T - 0.0172T^2$ and $\Delta F_T^0 = -1929.99 - 10.5191T \ln T + 0.0172T^2 - 60.397T$.

For the hydrolysis of $K_2S_2O_8$, $\Delta H_T = 21,427.79 - 207.1188T + 0.66615T^2 - 0.0007133T^3$ and $\Delta F_T^0 = 21,427.79 + 207.1188T \ln T - 0.66615T^2 + 0.00035666T^3 - 1085.2162T$. $K_2S_2O_8$, stable in neutral solns., is hydrolyzed progressively with diminishing pH in acid solns. $\Delta F = \Delta H - T\Delta S$ in kcal./mole or kcal./g. ion. The ΔH_T , ΔF_T^0 , and ΔS of the reactions at 10, 25, 35, and 50° are tabulated.

I. K. Scholucha

89-8-3944

C.A. 1969. 40. 18

1968

B92-5924-X

 $K_2S_2O_7$

2 Б806. Полиморфизм пиросульфата калия. Hähle
~~Siegfried, Meisel A. et al.~~ Die Polymorphie des
 Kaliumdisulfats. «Z. Chem.», 1968, 8, № 7, 279 (нем.)

По данным ДТА и рентгенографич. исследования установлено, что при нагревании $K_2S_2O_7$ (I) его β -форма при 335° превращается в α -форму. Темпера превращения приблизительно в 2 раза больше теплоты плавления I при 395° . I без примеси $KHSO_4$ был получен путем разложения $K_2S_2O_8$ при 150° .

Б. Я. Каплан

 T_{t_2} ΔH_{t_2} X. 1969 · 2

1968

B9-5924-X

K₂S₂O₇potassium pyrosulfate

(71090w) Polymorphism of potassium pyrosulfate. Haehle,
Siegfried, Meisel, Armin (Karl-Marx-Univ., Leipzig, Ger.).
Z. Chem. 1968, 8(7), 279 (Ger). X-rays and D.T.A. studies on
the thermal properties of K₂S₂O₇ confirm the transitic temp. of
330° for the transition of β-K₂S₂O₇ to α-K₂S₂O₇. TJG

T_{tr}

CIA 1968

69:18

$K_2S_2O_7$ BP-4077-I 1968

Samuel Th, Heise et.

(Tm)

Werkstoffe und korrosion

1968, N10, 837 - 844

$\text{Na}_2\text{S}_2\text{O}_7$, $\text{K}_2\text{S}_2\text{O}_7$ (Tm) X4077 1968

Samuel Th, Heise M.

Werksf. Körös (Weinheim), 1968, 19(10), 837-44

Thermogravimetric method for investigating the solid-gas and melt-gas equilibria in sulphate systems
of corrosion - 5
chemical interaction
CA, 1969, 20, 3430-3432

5 etc. p.k

1968

KSO₄-K_a80983D Dissociation constants of KSO₄⁻ from 10-50°.

Truesdell, A. H.; Hostetler, P. B. (U.S. Geol. Surv., Menlo

Park, Calif.). *Geochim. Cosmochim. Acta* 1968, 32(9), 1019-22

(Eng). A cell without liq. junction was used to obtain dissociation

consts. K for the reaction: KSO₄⁻ = K⁺ + SO₄²⁻. At 10,25, 38, and 50°, values for K are, resp., 0.19₅, 0.14₂, 0.11₇,and 0.09₅. At 25°, ΔG_f° and ΔH_f° values for the KSO₄⁻ ionare -245.96 and -274.02 kcal./mole, and S° is +42.3 cal./

mole degree.

RCVF

C.A. 1968-69-20

K_2O_3 , $K_2S_2O_8$ (Dill) to VII-3726 1969
~~1096998~~

Richards G.W., Woolf A.A.,

J. Chem. Soc. A, 1969, (7), 1042-6

Thermochimistry of fluorine compounds.

I. Reaction calorimetry in bromine trifluoride. 8

Ji, B, Kao

(9)

CA, 1969, 70, J24, 1096998

K₂S₅O₁₆

1969

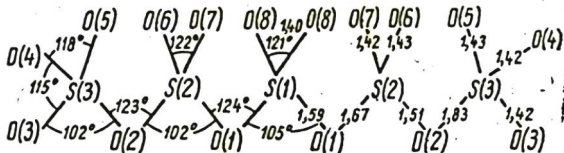
9 Б589. Кристаллическая структура пентасульфата калия, K₂S₅O₁₆. Vries R. de, Mijlhoff F. C. The crystal structure of potassium pentasulphate K₂S₅O₁₆. «Acta crystallogr.», 1969, B 25, № 9, 1696—1699 (англ.)

Проведено рентгенографич. исследование (методы Вейсенберга и прецессии, λ Mo-K_α) K₂S₅O₁₆. Параметры ромбич. решетки: a 9,19 (4), b 10,891 (2), c 14,522 (4) Å, ρ (выч.) 2,26, $Z=4$, ф. гр. $Pb\bar{c}n$. Структура расшифрована по синтезам Паттерсона—Харкера и электронной плотности и уточнена МНК в полиноматричном анизотропном приближении (1017 отражений) с применением весовой схемы до $R=0,094$. Ионы K⁺ окружены 8 атомами O на расстояниях 2,710—3,096 Å. Две половины аниона S₅O₁₆²⁻ связаны двойной связью, проходящей через центральный атом S₍₁₎. Строение аниона показано на рис. Он состоит из цепи псевдо-тетраэдров SO₄, соединенных общими атомами O. Длины мостиковых связей S—O чередуются вдоль цепи от атома S₍₁₎, в то время как

кристал.
структур

X · 1970 · 9

остальные связи S—O сохраняют постоянную длину. Подробно обсуждается строение и возможная симметрия псевдо-тетраэдров. Длина концевой мостиковой связи $S_{(3)}—O_{(2)}$ 1,83 Å на 0,14 Å превышает длину одинарной



связи S—O, рассчитанную по уравнению Шомекера—Стивенсона (J. Amer. Chem. Soc., 1941, 63, 37), что, по мнению авторов, указывает на существенный вклад d_z^2 —орбитали атома S в σ -связь S—O. В связи с почти плоским строением концевой группы предлагается рассматривать ее как молекулу SO_3 , слабо связанную с остальной частью цепи. Проводится сравнение со структурой $(NO_2^+)_2S_2O_10^{2-}$.

Л. М. Школьникова

K_2SO_4

K-S-O

K_2SO_3

$K_2S_2O_7$

B77-X-4654 1870

- 125755 ~~X~~ Thermodynamics of the potassium-sulfur system.
Rasch, Rudolf (Battelle-Inst. e.V., Frankfurt/M., Ger.).
Sprechsaal Kerm., Glas, Email, Silikate 1970, 103(3), 117-20,
122-4, 126, 128-30 (Ger). The author discusses the heat of
formation, sp. heat, entropy, transition temp., heat of transition,
entropies, m.ps., heats of fusion, entropies of fusion, and free
energies for K_2SO_4 , K_2SO_3 , $K_2S_2O_7$, and K_2S . Graphs of free
energies are given not only for these compds. but also for reac-
tions involving them, and also for SO_3 , SO_2 , KCl , and K_2O

J. M. NC

непроверена

C.A. 1970 · 72 · 24

18

IX-967

KOH, K₂CO₃, K₂SiO₃, K₂S₂O₈, 10 1970

KBH₄, LiCl, LiBO₂, Li₂SO₃, MgS, 5 13

Mg(CO₂H)₂, PrO₁₀, BPO₄, SnSO₄, Na₂S:Fe 15

AlCl₃·6H₂O (cp, S, Kr-Ko) 1970

Stull D.R., Hildebrand D.L., Deering F.L.

Sinke G.C.

J.Chem. and Eng. Data, 1970, 15, N1, 52-56 (ans)

low temperature heat capacities of 15
inorganic compounds

err cp. K

PIK X-967
1970
185582

○ 725 (p)

K₂S₂O₈

BP-X-5401

1971

131246k Standard heat of formation of potassium peroxydisulfate and a possible standard reaction for the measurement of heats of reaction of slow solution processes at 25°. Finch, Arthur; Gardner, Peter J.; Wellum, Glyn R. (R. Holloway Coll., Univ. London, London, Engl.). *J. Chem. Soc. D* 1971, (8), 412-13 (Eng). The reaction of K₂S₂O₈ with KI soln. is suggested as a std. reaction for the calorimetric measurement of heats of slow reactions in soln. at 25°. The heat of the overall K₂S₂O₈-KI reaction is -293.77 ± 0.29 kJ/mole, from which the std. heat of formation of K₂S₂O₈ was evaluated as 1903.0 ± 1.1 kJ/mole.

DYJN

C.A. 1971. 4.24

B91-X-5401

1971

K₂S₂O₈

19 Б766. Стандартная теплота образования перокси-
дисульфата калия и возможная стандартная реакция
для определения теплот процессов медленного растворе-
ния при 25°. Finch Arthur, Gardner P. J.,
Wellum Glyn R. Standard heat of formation of potas-
sium peroxydisulphate and a possible standard reaction
for the measurement of heats of reaction of slow solution
processes at 25° C. «Chem. Commun», 1971, № 8. 412—
413 (англ.)

Стандартная теплота образования $K_2S_2O_8$, определен-
ная с помощью адиабатич. калориметра р-рения, равна
 $1903,0 \pm 1,1$ кдж/моль. Предложена стандартная р-ция
между $K_2S_2O_8$ и водн. р-ром иодида, в частности KJ.

Резюме

X. 1971. 19

1972

K₂S₄O₆(78)(C_P)

66985w Thermodynamic properties of oxygenated sulfur complex ions. Heat capacity from 5 to 300°K for K₂S₄O₆(c) and from 273 to 373°K for S₄O₆²⁻(aq). Revised thermodynamic functions for HSO₃⁻(aq), SO₃²⁻(aq), S₂O₃²⁻(aq) and S₄O₆²⁻(aq) at 298°K. Revised potential of the thiosulfate-tetrathionate electrode. Cobble, J. W.; Stephens, H. P.; McKinnon, I. R.; Westrum, E. F., Jr. (Dep. Chem., Univ. Michigan, Ann Arbor, Mich.). *Inorg. Chem.* 1972, 11(7), 1669-74 (Eng). The heat capacity and thermodynamic functions for cryst. potassium tetrathionate, K₂S₄O₆(c), have been detd. by adiabatic calorimetry at 5-330°K. The values of the std. thermodynamic functions C_p, S°, -(F° - H°)/T at 298.15°K are 55.16, 74.01, and 38.91 cal mole⁻¹ °K⁻¹, resp. The heats of soln. of K₂S₄O₆(c) in water have been detd. at various concns. between 20 and 95° and extrapolated to infinite diln. to give the std. enthalpies of soln. At 25°, ΔH° = 12,403 cal mole⁻¹. The partial molal heat capacities of K₂S₄O₆(aq) have been evaluated from the heats of soln. The free energy of soln. of K₂S₄O₆(c) at 25° was detd. to be 1510 cal mole⁻¹; the resulting entropy of K₂S₄O₆(aq) was 110.5 cal mole⁻¹ °K⁻¹. Recalcn. of previous data in the literature by 3rd-law methods has resulted in revised thermodynamic functions for HSO₃⁻(aq), SO₃²⁻(aq), and S₂O₃²⁻(aq). The std. potential of the S₄O₆²⁻-S₂O₃²⁻ electrode was calcd. as 0.169 V at 25°.

(+) 11

8 IK

8

Cat. 1972-77.13

$\text{Al}(\text{NO}_3)_3$; CaHTsO_4 ; $\text{Ba}(\text{ClO}_4)_2$; CdSO_4 ; $\text{Co}(\text{I}_03/2)$; CuSeO_4 ; TeS_2O_4 ; $\text{K}_2\text{S}_2\text{O}_3$; MgSO_3 ; Na_2CO_3 , Na_2HSO_4 , NaHTsO_4 ; $\text{Na}_2\text{S}_2\text{O}_6$, $(\text{NH}_4)_2\text{C}_2\text{O}_4$ IX 396.7 | 1972
20 Ze Van My, 109614

Bull. Soc. Chim. Fr., 1972, N^o 2, 579-83

(COPPARUS)

Estimation of thermodynamic functions. I Estimation of standard enthalpies of formation.

B, M (cp) 10

CA, 1972, F⁶, N^o 26, 1592539

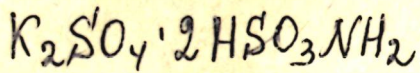
Null - K_2SO_4 ; Na_2SO_4 - K_2SO_4 ; (D^omix) 1972
KCl - Na_2SO_4 ; KCl - K_2SO_4 (D^omix)
Robinson R.A., Platford R. J. Childs
C.W. X 7719

J. Solution Chem., 1972, 1, N2, 167-72

causes
Thermodynamics of aqueous mixtures
of sodium chloride, potassium chlo-
ride, sodium sulfate, and potas-
sium sulfate ○ at 25° K.

B CP

8 CA, 1973, 78, N8, 48916B.



1972

15 B14. Новая двойная соль сульфаминовой кислоты и сульфата калия. Uchida Shogo, Mochizuki Mogio. New double salt of sulfamic acid and potassium sulfate. «Chem. Lett.», 1972, № 1, 5—6 (англ.)

Методом р-римости при 30° показано, что HSO_3NH_2 и K_2SO_4 образуют двойное соединение состава $K_2SO_4 \cdot 2HSO_3NH_2$ (I). I — бесцв., прозрачные и негигроскопичные кристаллы с т. пл. 161—2°. I имеет отличную от исходных компонентов рентгенограмму. Резюме

(Tm)

x. 1973. N 15

$K_2S_2O_7$

1973.

Коевский А. Т. и др.

Материалы 4-го

Общ. научно-тех. конгр.

по химии и хим. технолог.

1973 (Труды 1973) 2, 131-2.

(K₂O)

● (act. $K_2S_2O_7$; I)

$K_3SO_4^+$
 (2)

B9-X-7820

1973

129648g Mass-spectrometric study of equilibria with the participation of ions. I. Potassium bromide and sulfate. Kudin, L. S.; Gusarov, A. V.; Gorokhov, L. N. (Inst. Vys. Temp., Moscow, USSR). *Teplofiz. Vys. Temp.* 1973, 11(1), 59-63 (Russ). Particles emitted from an effusion chamber contg. KBr (I) or K_2SO_4 (II) were analyzed by means of a mass spectrometer. The rel. intensities of pos. ions in the mass spectrum of I at $890^\circ K$ were K^+ 100, K_2Br^+ 89, K_2Br^{2+} 0.7, and K_2Cl^+ 0.5, and in the spectrum of II at $1200^\circ K$ K^+ 100 and $K_2SO_4^+$ 0.11. Values for the heat of the reaction $K_2Br^+(g) = K^+(g) + KBr(g)$ at $800^\circ K$, calcd. from the 2nd and 3rd laws of thermodn., were 39.5 ± 3 and 41.5 ± 3 kcal/mole, resp. For II, $\Delta H_{1200} = 38 \pm 5$ kcal/mole (2nd law). The heat of formation and entropy c. $K_2SO_4^+(g)$ at $1200^\circ K$ were -246 ± 4 kcal/mole and 168 ± 5 cal/mole- $^\circ K$, resp. Quant. data for ion effusion rates were obtained. The ratios of the evapn. rate for K^+ ions for I to that for uncharged particles at $900^\circ K$ were 2×10^{-6} and 6×10^{-6} for W and Pt crucibles, resp. The analogous ratio for II at $1293^\circ K$ was 2×10^{-4} for evapn. from a Pt vessel.

Z. M. Zochowski

C.A. 1973. 78 N 20

$\text{Na}_2\text{S}_2\text{O}_7$, $\text{K}_2\text{S}_2\text{O}_7$ (Kp) 1973
X-9014

Костин А.П., Ширеренад д.т.,
Тулешуков д.д., Помов Н.Н.,
Дековская В.В.,

Матер. 40й обр. научно-техног.
конференц. Инст. научн. технол.
1973 (Труд. 1973), 2, 131-2.

Физикохимические свойства
представленных нынче образцов
и некоторые замечания
С.А. 1975. 82 № 12. 79725-1

$K_2S_2O_3^-$

1974

(NH record)

~~1974~~
Acacia P.,
S. Thorpe Schol. Chem.,
1974, 22, (12), 5779-82.

See $Na_2S_2O_3^-$
I)

K - S - O

1970

K_2SO_4

K_2SO_3

$K_2S_2O_7$

Примеси
железа

15 Б652. К термодинамике системы калий — сера.
Rasch Rudolf. Beitrag zur Thermodynamik des Systems Kalium-Schwefel. «Sprechsaal Keram., Glas, Email, Silik.», 1970, 103, № 3, 117—120, 122—124, 126, 128—130 (нем.)

Систематизированы и критически рассмотрены с т. зр. практического использования лит. данные по термодинамич. свойствам K_2SO_4 , K_2SO_3 , $K_2S_2O_7$ и K_2S . Библ. 13. Л. Гузей

+1

X. 1970. 15

☒

K₂SO₄ - SO₃

1974

24 Б778. Равновесие в системах Na₂SO₄—SO₃ и K₂SO₄—SO₃. Костин Л. П., Плужников Л. Л. «Науч. тр. Перм. фармацевт. ин-т», 1974, вып. 6, 97—101.

Изучено равновесие в системах Na₂SO₄—SO₃, K₂SO₄—SO₃ при т-рах 450—650° и 500—700° и различных парц. давл. SO₃ в газ. фазе. Приведены рассчитанные значения кажущихся констант равновесия для исследуемых систем в зависимости от т-ры при различных парц. давл. SO₃. Определены величины изменения кажущихся стандартных энергий Гиббса для соотв-щих р-ций: для системы K₂SO₄—SO₃ $\Delta G(550—670^\circ) = 20,0 \cdot T - 25\ 000$, для системы Na₂SO₄—SO₃ $\Delta G(470—580^\circ) = 37,1 \cdot T - 36\ 000$.

Л. И. Ройтштейн

(46)

ж. 1974. № 24



B9 - 9034-X

1974

$K_2S \cdot KOH$

13 Б886. Диаграмма плавкости системы K_2S - KOH .
Овечкин Е. К., Шевцова Л. Н., Войцеховский А. Е., Обозная Л. И., Кузнецова Л. В.
«Тр. Н.-и. и проект. ин-т основн. химии», 1974, 34,
70-74

(T_m)

Методом ДТА и рентгеновского анализа впервые изучена диаграмма плавкости системы K_2S - KOH . Установлено, что в системе образуются два конгруэнтно-плавящихся соединения: $K_2S \cdot KOH$ и $3K_2S \cdot 7KOH$ с т. пл. $K_2S \cdot KOH = 645^\circ$, $3K_2S \cdot 7KOH = 495^\circ$. Линия ликвидуса пересекается в трех точках при содержании KOH 42,64 и 97 мол. % и т-рах 580 ± 3 , 495 ± 3 и $330 \pm 3^\circ$.

Автореферат

X. 1975. N13

отмечен № 137

1975

K₂S₂O₄

18 Б827 Деп. Термическое разложение расплавленного пиросульфата калия. Костин Л. П., Плужников Л. Л., Васильев Б. Т., Усенко А. Н., Кетов А. Н., Печковский В. В. (Редколлегия «Ж. физ. химии» АН СССР). М., 1975. 11с., ил., библиогр. 17 назв. (Рукопись деп. в ВИНИТИ 15 мая 1975 г., № 1322—75 Деп.)

Методами термогравиметрич. и хим. анализа проведено изучение состава расплава на содержание сульфата и пиросульфата калия. Измерена константа равновесия р-ции $K_2S_2O_7(p) \rightleftharpoons K_2SO_4(p) + SO_3(g)$ в интервале т-р 600—750° и при различных парц. давлениях SO_3 в газ. фазе (0,075—0,110 атм). Зависимость кажущейся константы равновесия от т-ры описывается эмпирич. ур-ием: $lg K_p^* = 7,83 - 5480/T \pm 0,1$. Рассчитано изменение кажущейся свободной энергии Гиббса $\Delta G^* = -25\ 100 - 35,8 \cdot T$ кал/моль.

Автореферат

(K_p ; ΔG^*)

X 1975 N 18

~~K₂S₃O₁₀~~
(Крист.)

4 В12 Деп. Синтез и некоторые характеристики три-
сульфата калия. Колдратьев С. Н., Мельни-
кова С. И. (Редколлегия ж. «Изв. высш. учеб. заве-
дений. Химия и хим. технол.»). Иваново, 1975. 6 с.,
ил., библиогр. 7 назв. (Рукопись деп. в ВИНИТИ
18 ноября 1975 г., № 3298—75Деп.).

1975

Приведены термич. и спектральные характеристики
крист. трисульфата калия, полученного взаимодействием
жидк. трехокси серы с сульфатом калия. Методом ДТА установлено, что отщепление SO₃ начи-
нается при т-ре 120° (первый эндоэффект) и происхо-
дит вплоть до т-ры плавления 264—276° (второй эндо-
эффект). Продуктом разложения является дисульфат
калия. ИК-спектр K₂S₃O₁₀ содержит полосы поглоще-
ния в см⁻¹: 510—540 с. ш.; 560—575 с.; 635 сл.; 655 ср.;
715 с.; 790 ср.; 850—880 с. ш., 970 ср.; 995 ср.;
1045 ср.; 1085 с.; 1205 ср., 1300—1330 с. ш.; 1460 с.
Из сравнения с имеющимися лит. данными по ряду
сульфатных соединений интенсивные полосы поглоще-
ния 560—575, 655, 970, 995, 1045, 1085, 1205, 1460 см⁻¹
отнесены к вал. и деф. кол. группы SO₂ в срединных
и конечных сульфатогруппах, а полосы 715 и 850—
880 см⁻¹ к симм. и асимм. вал. кол. связи S—O—S.

Автореферат

T_{tz}; T_m

(Vi)

X 1976 N 3

+1

K₂SO₄

1975

103899x Dissociation constants of some monovalent sulfate ion pairs at 25° from stoichiometric activity coefficients. Reardon, E. J. (Dep. Earth Sci., Univ. Waterloo, Waterloo, Ont.). *J. Phys. Chem.* 1975, 79(5), 422-5 (Eng). The mean activity coeffs. of K₂SO₄ are corrected for KSO₄⁻ ion pairing using a dissociation const. (pK(KSO₄⁻)) of 0.85 at 25°. These corrected coeffs. are used to estimate $\gamma_{SO_4^{2-}}$ values based on the mean salt method assuming $\gamma_{K^+} = \gamma_{Cl^-} = \gamma_{KCl}$. The $\gamma_{SO_4^{2-}}$ values permit computation of dissociation pK's at 25° from sulfate salt stoichiometric activity coeffs. for LiSO₄⁻, NaSO₄⁻, RbSO₄⁻, CsSO₄⁻, and NH₄SO₄⁻ of 0.77, 0.82, 0.60, 0.33, and 0.94, resp.

Kgceey

C.A. 1975, 82 v16

(+5)

☒

$\text{Na}_2\text{S}_2\text{O}_8$, $\text{K}_2\text{S}_2\text{O}_8$ ($\Delta H, T_m$) 1976

Baqboozi M.S.H., JASIM F. BX-114

Thermochim. Acta, 1976, 16, N3, 402-406/annex

On the thermal decomposition of alkalis
persulfates by derivatography

PAK Xun, 1977

25889

(16)

5, M CP

Yonsei
U

$K_2S_3O_{10}$

1976

84: 173083s Synthesis and certain characteristics of potassium trisulfate. Kondrat'ev, S. N. (Kaz. Khim.-Tekhnol. Inst. im. Kirova, Chimkent, USSR). Izv. Vyssh. Uchebn. Zaved., Khim. Khim. Tekhnol. 1976, 19(3), 501 (Russ.). Cryst. $K_2S_3O_{10}$, obtained from S and K_2SO_4 , begins to evolve SO_3 at 120° and melts at $264-76^\circ$; the decompr. product is K disulfate. $K_2S_3O_{10}$ was also characterized by its ir spectrum; the bands are assigned.

(T_{1:1})

C. A. 1976 84. N24

$\text{K}_2\text{SO}_3(\text{mb})$

Barron T; et al

1977

vol. II; p. 339.

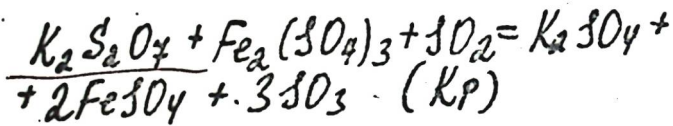
298-1200



(cont. Ag-1)

BX - 675.

1977



Дедюхиников А.А., Костин А.П.,
Кенов А.Н.,

Ж.-Физ. хим. 1977, 51(2), 528.

10

Чесноков. равн. в сисм. перосульфат ка-
лии - сульфат чеснока триокись серы -
двуокись серы - ионе- кислор. и ионогид-
р. А. 1977, 86, N22, 162001а

М. СР

$K_2S_2O_8^-$

1977

$NH_4S_2O_8^-$

Kaccoy.

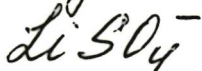
me fuog
CB - 84

87: 44976y Ion-pair formation in aqueous solutions of potassium and ammonium persulfates. Swamy, J. Anantha; Sethuram, B.; Rao, T. Navaneeth (Dep. Chem., Osmania Univ., Hyderabad, India). *Indian J. Chem., Sect. A* 1977, 15A(1), 9-11 (Eng). Conductivities of K and ammonium persulfates in aq. solns. were detd. at 25 and 35° to detect and est. the stability of the possible ion pairs. The thermodn. assocn. consts. are 13.16 (at 25°), 16.66 (at 35°) for $KS_2O_8^-$ and 16.67 (at 25°), 21.64 M⁻¹ (at 35°) for $NH_4S_2O_8^-$. The limiting mobilities of persulfate ion, viz. 86.41 ± 0.08 (at 25°) and 97.42 ± 0.1 ohm⁻¹ g equiv.⁻¹ cm² (at 35°) were evaluated independently. Thermodn. parameters for the ion-pairs were also evaluated.

(+1) 18

C.A. 1977. 87 n6

1978



(K. guccoy)

C.A. 1978, 89, N.20

89: 169955p Lithium sulfate (LiSO_4^-), rubidium sulfate (RbSO_4^-), cesium sulfate (CsSO_4^-), and ammonium sulfate [NH_4SO_4^-] ion pairs in aqueous solutions at pressures up to 2000 atm. Fisher, F. H.; Fox, A. P. (Scripps Inst. Oceanogr., Univ. California, La Jolla, Calif.). *J. Solution Chem.* 1978, 7(7), 561-70 (Eng). Elec. conductivities at 25° for LiSO_4^- , RbSO_4^- , CsSO_4^- , and $(\text{NH}_4)_2\text{SO}_4$ aq. solns. are reported at concns. ≤ 0.01 N and as a function of pressure ≤ 2000 atm. The molal dissociation consts. are LiSO_4^- : $-\log K_m = -1.02 + 1.03 \times 10^4 P \pm 0.019$, $\Delta V^\circ = -5.8$; RbSO_4^- : $-\log K_m = -1.12 + 0.58 \times 10^4 P \pm 0.020$, $\Delta V^\circ = -3.3$; CsSO_4^- : $\log K_m = -1.08 + 1.10 \times 10^4 P \pm 0.014$, $\Delta V^\circ = -6.2$; $(\text{NH}_4)_2\text{SO}_4$: $-\log K_m = -1.07 + 0.60 \times 10^4 P \pm 0.019$, $\Delta V^\circ = -3.4$; where P is in atm. and ΔV° is in $\text{cm}^3\text{-mol}^{-1}$. These values were obtained by using the Davies-Otter-Prue conductance equation and Bjerrum distance parameters. A simultaneous Λ° , K_m search was used to det. the equil. const. K_m , a different procedure than used earlier for KSO_4^- , NaSO_4^- , and MgCl^+ . Recalcd. values for these salts are as follows: KSO_4^- : $-\log K_m = -1.03 + 1.04 \times 10^4 P \pm 0.020$, $\Delta V^\circ = -5.9$; NaSO_4^- : $-\log K_m = -1.00 + 1.30 \times 10^4 P \pm 0.019$, $\Delta V^\circ = -7.3$; MgCl^+ : $-\log K_m = 0.75 + 0.71 \times 10^4 P \pm 0.028$, $\Delta V^\circ = -4.0$.

(+5) ☒

K₂O₄S (Fe)

1978

JANAF

M.G.CB-69

0-1200

Dec. 31, 1971.

June 30, 1978.

B-K₂O₄S(π)

1978

JANAF

m.g.cl-69

D-1500

June 30, 1978.

1978.

K₂SO₄(m)

d, B.

JANAF

m.g.cb-b9

Dec. 31, 1971.

0 - 3000

June 30, 1978.

$K_2S_2O_8$

BP-I-1324

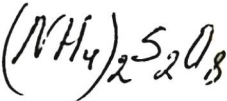
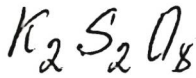
1978

89: 15977k Decomposition of solid peroxy disulfates. House, J. E., Jr.; Flentge, Charles (Dep. Chem., Illinois State Univ., Normal, Ill.). *Thermochim. Acta* 1978, 24(1), 117-20 (Eng). Conversion of ammonium and potassium peroxydisulfates to the pyrosulfates was studied using differential scanning calorimetry and thermogravimetric anal. The thermogravimetric curves show that both of these compds. lose O in a single step. Extensive fragmentation of the crystals occurs as O is lost. For conversion of $K_2S_2O_8$ to $K_2S_2O_7$, $\Delta H = -57.2 \pm 6.3$ kcal mol⁻¹ and $E_a = 86.4 \pm 6.2$ kcal mol⁻¹. The heat of fusion of the $K_2S_2O_7$ produced is 12.4 ± 2.6 kcal mol⁻¹. For conversion of $(NH_4)_2S_2O_8$ to the pyrosulfate, $\Delta H = -82.8 \pm 8.3$ kcal mol⁻¹ and $E_a = 65.4 \pm 6.7$ kcal mol⁻¹.

4 Hm

C.A. 1978, 89, N2

ВР-X-132еф 1978



20 Б1252. Разложение твердых пероксидисульфатов.
House J. E., Flint ge Charles. Decomposition of
solid peroxydisulfates. «Thermochim. acta», 1978, 24, № 1,
117—120 (англ.)

Методом дифференциальной сканирующей калориметрии в сочетании с ТГА при скорости повышения темп. 10 и 20 град/мин и оптич. микроскопич. анализом изучен процесс термич. разл. $K_2S_2O_8$ (I) и $(NH_4)_2S_2O_8$ (II) в атмосфере N_2 . Показано, что I разлагается с выделением O_2 и образованием $K_2S_2O_7$ (III). Этот процесс характеризуется экзотермич. эффектом при 197—245°, его энталпия ΔH составляет $-57,2 \pm 6,3$ ккал/моль, а кажущаяся энергия активации $E = 86,4 \pm 6,2$ ккал/моль. Поскольку одновременно происходит значительное измельчение кристаллов I, измеренное значение ΔH не м. б. однозначно интерпретировано. При 337—342° III плавится, энталпия плавления равна $12,4 \pm 2,6$ ккал/моль. Термич. разл. II протекает с эндоэффектом при 170—212° и сопровождается выделением O_2 и $(NH_4)_2S_2O_7$. Здесь $\Delta H = 82,8 \pm 8,3$ ккал/моль, $E = 65,4 \pm 6,7$ ккал/моль.

Э. Г. Раков

Ф 1978, № 20

K_2CO_3 , $CsCO_3$ (I, ΔH) BX-1543 1978

$K_3SO_4^+$, $CsSO_4^+$, $Cs_2CO_3^+$ ($\Delta H f$, ΔH)

Cs_2SO_4 (ΔH)

Кызыл р.т., Гусаров д.п., Торокут д.н.,
Красногорск К.С.

Температура испарения, 1978, 16,
№3, SO4-SO3. Кисло-специфический раствор
смеси плавиковых с гидратом натрия. Состав:
и кальций, калий и щелочь.

D.W. 1978, 1978

215279

M, 10. (P)

K₂Si₂O₈(aq) emmrich 6670 1978
Plofsson J. V.
et al.

(C_P) Can. J. Chem.
1978, 56 (14),
1841-43

$K_2S_2O_8$ (6)

[ommited 10563] 1980.

Cleaver R. D.; et al.

Kishenwala
Mehta.
Jagoneelis

J. Raman Spectrosc;
1980, 9 (6), 381-83

KF-K₂SO₄
(сульфата
кальция)

Lommel 10927 | 1980.

Kleppa O.-G.; et al.

Кальций
сульфат
M·g·Ca·Ba

Acta Chem. Scand.,
1980, 434, 655-65

Miyake M., Mori Kawa H.

Iwai S.,

1980

K₂Si₂
NT, ~~1980~~

Acta crystallogr.,
1980, B36, 532

8540

$K_2S_2O_7$ Lommel 9698 1980

$K_2S_2O_7$ F-10326) Noël S; et al.

ΔH_{phase} ; C. R. Acad. Sci.; 1980,
 ΔH_f C29D, 165-168

err $Li_2S_2O_7 \cdot T$

$K_2S_2O_8(aq)$

Ottmuck 10525 1980

94: 91363a Enthalpy of dissolution of potassium peroxodisulfate in water at 298.15 K. Pekarek, V.; Rychly, R.; Balej, J.; Vacek, V. (Inst. Inorg. Chem., Czechoslovak Acad. Sci., 1600 Prague, 6 Czech.). *J. Chem. Thermodyn.* 1980, 12(11), 1079-83 (Eng). The heat of dissoln. of $K_2S_2O_8$ [7727-21-1] in H_2O at 298.15 K was measured in Calvet and LKB calorimeters for molalities $m = 0.002-0.19$ mol/kg. The effect of the instability of aq. solns. of $K_2S_2O_8$ on the reliability of the data was taken into consideration.

(aq H₂soln)

P. A 1981.94 v12

$K_2S_2O_8$

отмечена 10525

1980

7 Б1507. Энталпия растворения персульфата калия в воде при 298,15 К. Рекагек V., Rychly R., Balej J., Vacek V. Enthalpy of dissolution of potassium peroxodisulfate in water at 298.15 K. «J. Chem. Thermodyn.», 1980, 12, № 11, 1079—1083 (англ.)

(ΔH_{aq})

При 298,15 К определены и табулированы энталпии р-рения персульфата калия (I) в воде. Конц-июсоли варьировали от 0,002 до 0,19 Мл. Полученные результаты описаны ур-нием ΔH (кдж/моль) = 68,964 — 13,367 $m^{1/2}$ + 14,253 m . Обсуждено влияние хим. неустойчивости водн. р-ров I на надежность результатов. Проведена оценка энталпии кристаллизации I.

По резюме

Х. 1981 № 7

$K_2Si_4O_9$

1980

194: 53865h Heat capacity of liquid silicates: new measurements on sodium aluminosilicate and potassium silicate. Richet, Pascal; Bottinga, Yan .(Inst. Phys. Globe, Univ. Paris VII, 75230 Paris, 05 Fr.). *Geochim. Cosmochim. Acta* 1980, 44(10), 1535-41 (Eng). The heat capacities were detd. of glassy and liq. albite and $K_2Si_4O_9$ at 600-1500°. The results were combined with previously published data for stable and supercooled silicate liqs. The isobaric heat capacities of both phases are equal and thus temp. independent.

(C_p)

O. A. 1981.94 N8

K₂S

Cominaco 12-184 | 1981.

Johnson G.K., et al.

(ΔH_f)

J. Chem. Thermodyn.,
1981, 13, 985-990.

K₂S₂O₇

ОГПУСК 13337 1981

11 Б890. Тройная система $\text{Li}_2\text{S}_2\text{O}_7$ — $\text{Na}_2\text{S}_2\text{O}_7$ — $\text{K}_2\text{S}_2\text{O}_7$. Colombier Michel, Leclercq Philippe, Said Jean. Le système ternaire $\text{Li}_2\text{S}_2\text{O}_7$ — $\text{Na}_2\text{S}_2\text{O}_7$ — $\text{K}_2\text{S}_2\text{O}_7$. «Bull. Soc. chim. France», 1981, part. 1, № 11—12, 419—423 (фр.; рез. англ.)

Методом изоплетич. сечений изучена тройная система $\text{Li}_2\text{S}_2\text{O}_7$ (I) — $\text{Na}_2\text{S}_2\text{O}_7$ (II) — $\text{K}_2\text{S}_2\text{O}_7$ (III). Представлена фазовая диаграмма системы, в к-рой имеются поля кристаллизации I, NaKS_2O_7 , LiKS_2O_7 и двух тв. р-ров, богатых II и III. Представлены т-ры и составы бинарных и тройных эвтектик системы. При 272°С в равновесии находятся четыре фазы, в т. ч. две аллотропич. модификации III.

Л. Г. Титов

Х. 1982, 19, N 11.

K₂S₂O₇ — K₂SO₄

1982

15 6673. Комплексообразование в кросульфатных расплавах. I. Потенциометрическое, криоскопическое и спектрофотометрическое исследования систем K₂S₂O₇—K₂SO₄ и K₂S₂O₇—K₂SO₄—V₂O₅ в температурном интервале 410—450° С. Hansen Niels Holger, Fehrg-

mann Rasmus, Вјеггум Niels J. Complex formation in pyrosulfate melts. I. Potentiometric, cryoscopic, and spectrophotometric investigations of the systems K₂S₂O₇—K₂SO₄ and K₂S₂O₇—K₂SO₄—V₂O₅ in the temperature range 410—450° С. «Inorg. Chem.», 1982, 21, № 2, 744—752 (англ.)

Потенциометрическим методом при 420, 430, 440 и 450° С определены мол. доли K₂SO₄ (I) в насыщ. по I расплавах I+K₂S₂O₇ (II) и вычислено произведение р-римости (K_s) I. Установлена линейность зависимости $-pK_s$ от $1/T$ (T — абрс. т-ра) и рассчитана энталпия и

термодинам.

X. 1982, 19, N 15.

энтропия р-рения I в II, к-рые составили $35,21 \pm 0,44$ кДж/моль и $88,41 \pm 0,63$ кДж/(моль·К). Криоскопически определены точка и энталпия плавления и криоскопич. константа II, равные $418,8 \pm 0,5^\circ\text{C}$, $19,931 \pm 0,012$ кДж/моль и $50,791 \pm 0,085^\circ\text{C}$ кг/моль. Исследовано р-рение V(5+) в расплавах I+II+V₂O₅ в интервале 410—450° С и предположено протекание процессов $\text{V}_2\text{O}_5 + n\text{S}_2\text{O}_7^{2-} = 2\text{VO}_{(5-n)/2}(\text{SO}_4)_n{}^{n-}$ и $\text{VO}_{(5-n)/2}^{n-} + (\text{SO}_4)_n{}^{n-} + \text{SO}_4^{2-} = \text{VO}_2(\text{SO}_4)_2{}^{3-} + (n-1)/2\text{S}_2\text{O}_7^{2-}$, где $n=1$ или 3. По резюме

$K_2S_2O_8$

1982

Pekárek Vladimír,
Vacek Václav.

Haji Ind. Cryst. 81. Proc, 8th
Symp., Budapest, 28-30
Sept., 1981. Amsterdam e.a.,
1982, 305-306 (c.u. $K_2Cr_2O_7$; -)

$K_2S_2O_8$ 1982

Vacek V.; Pekarek V.

Chem. Pruz. 1982,

A Hsln; 32 (4), 178 - 183.

(cees. KCl ; T)

$K_2S_2O_5(K)$

1983

Edwards, Timmie G.

NASA [Contract. Rep. I

P;
CR 1983, NASA-CR-168155,
NAS 1.26: 168155, 56 pp.

(cces. $K_2S(K)$; I).

$K_2\cdot SO_3(K)$

1983

Edwards, Yimnie G.

(P, AH)

NASA [Contract. Rep.]
CR 1983, NASA - CR -
- 168155, NAS 1.26:168155,
56 pp.

(cav. $K_2SO_3(K)$; I).

$K_2S_2O_5(K)$

1984

) 8 Б2044. Повторное изучение структуры пиросульфита калия, $K_2S_2O_5$. Reinvestigation of the structure of potassium pyrosulfite, $K_2S_2O_5$. Chen I. Chia, Wang Yu. «Acta crystallogr.», 1984, C40, № 11, 1780—1781 (англ.)

Проведен повторный РСТА $K_2S_2O_5$ (780 отражений, анизотропное приближение, $R=0,040$). Кристаллы монокл., a 6,921, b 6,160, c 7,537 Å, β 102,79°, Z 2, ρ (изм.) 2,36, ρ (выч.) 2,356, ф. гр. $P2_1/m$. Структура сходна с определенной ранее (Lindquist I., Mortsell M., «Acta Crystallogr.», 1957, 10, 406). Межатомные расстояния S—S 2,2194, S—O (тионат) 1,453 и 1,460, S—O (тионит) 1,487 Å; OSO 110,63—112,78, SSO (тионит) 99,12, SSO (тионат) 105,47 и 107,16°. М. Б. Варфоломеев

Структура

X. 1985, 19 № 8

K₂S₂O₇

1984

1 Б3098. Некоторые дополнительные данные об особенностях термического поведения персульфата калия. Some supplementary data on particular features of the thermal behaviour of potassium persulfate. Gorba- chev V. M., Verzhbitsky F. R., Myakishev K. G., Potapova O. G. «J. Therm. Anal.», 1984, 29, № 1, 19—27 (англ.)

Методами ТГА, высокочастотного термич. анализа и объемного анализа газ. продуктов исследовано влияние предв. мех. измельчения и термообработки на т-рные и эл. характеристики термич. разл. $K_2S_2O_8$ (I). Мех. измельчение производилось при комн. т-ре в вибромельнице, оснащенной устройством для определения объема выделяющихся при измельчении газов. Высокочастотный термич. анализ позволил одновременно производить ДТА и определять эл. св-ва I на частоте 1 МГц. Рассмотрены физ. основы данного метода. Представлена принципиальная схема и описана работа установки для

X. 1985, 19, N1.

его реализации. Показано, что исходный I разлагается при 265—282° с образованием $K_2S_2O_7$ (II), к-рый претерпевает полиморфное превращение при 320° С и плавится при 410° С. В процессе измельчения разл. I не происходит, полученный порошок обладает большей активностью и разлагается постадийно при 183, 210 и 251° С. Послед. полиморфное превращение II происходит при 332—338° С и плавление — при 421° С. После выдержки исходного I при 130° С в течение 45 мин его т. разл. снижается на 40° С. Эл. измерения показали, что исходная структура I становится нестабильной после потери около 20% от общего кол-ва выделяющегося при разл. O_2 .

В. Е. Смирнов



1984

K₂S₂O₇

2 В16. Расплавленный пиросульфат калия; реакции 12 галогенидов щелочных металлов. Molten potassium pyrosulfate: the reactions of 12 alkali-metal halides. Mineely Patrick J., Tariq Shabbir A. «Austral. J. Chem.», 1984, 37, № 1, 191—195 (англ.)

С применением методов ТГА, КР- и масс-спектроскопии изучено взаимодействие расплавленного $K_2S_2O_7$ (I) с MX (II), где $M=Na, K, Rb, Cs$, а $X=Cl, Br, I$. Установлено, что суммарную р-цию I с II можно описать ур-нием $2X^- + 2S_2O_7^{2-} \rightarrow 3SO_4^{2-} + SO_2 + X_2$. В случае $X=Cl$ имеет место также протекание р-ции $8Cl^- + 6S_2O_7^{2-} \rightarrow 10SO_4^{2-} + S + SO_2 + 4Cl_2$. Т-ры начала взаимодействия I с II лежат в пределах 340—380° С, причем наблюдается ее возрастание по ряду X от I к Cl, а по ряду M от Cs к Na. В случае MCl р-ции не доходят до конца даже при 20-часовом нагревании при 470° С, в то время как для MX с $X=Br, I$ р-ции заканчиваются при 450° С в течение 2—3 ч. М. Б. В.

X. 1985, 19, № 2.

KSO_4^-

1984

Rudnyi E.B., Sidorov
Z.N., et al.

Probl. Kalorim. Khim.

$\Delta_f H$; Termoedin., Dokl. Vses.

Konf., 10th 1984, 2,
472 - 474.

(cess. SO_3^- ; i)

K_2SO_4

1984

100: 216650t Pressure effect on dissociation of potassium sulfate(1-) ion pairs in water at 25°C: Ueno, Masakatsu; Tsuchihashi, Noriaki; Shimizu, Kiyoshi (Dep. Appl. Chem., Doshisha Univ., Kyoto, Japan 602). *Sci. Eng. Rev. Doshisha Univ.* 1984, 24(4), 277-82 (Eng). Conductivities of K_2SO_4 in water were measured at 25° and up to 1500 kg/cm². The limiting equiv. cond. of K_2SO_4 and the dissocn. const. of KSO_4^- were detd. on the basis of minimizing errors in fitting cond. data to theor. equations. The dissocn. of the ion pair KSO_4^- proceeded with increasing pressure. The vol. change on dissocn., $\Delta\bar{V}^\circ$, was estd. to be -7 cm³/mol from the pressure dependence of the molal dissocn. const. The partial molal vol. of the ion pair at infinite diln., $\bar{V}^\circ(KSO_4^-)$, was 35 cm³/mol, obtained by using the values of $\Delta\bar{V}^\circ$ and the partial molal vols. of free K^+ and SO_4^{2-} ions. The value of $\bar{V}^\circ(KSO_4^-)$ was smaller by 22 cm³/mol than that of the crystal partial molal vol. of the ion pair, which indicated that the KSO_4^- ion pairs were considerably hydrated.

K. Aoki

C.A. 1984, 100, N26

$KSO_4(r)$

1985

Базаралык Н. Б., Ну-
ржин О. Т. и др.

$\Delta_f H^\circ$, $\Delta_f G^\circ$; Весеня. МТУ. Киргизия.
дл., 1985. 18с. Белебеевск.
12 наим. Рис. (Рукопись)
 gen. 8 БУНДУ, 22.11.85,
 N8082-B).

(Add. $K_2 SO_4$, III)

K₂S₃O₆

1985

19 Б2045. Экспериментальная зарядовая плотность в политионатных анионах. 1. Рентгеновское исследование распределения электронной плотности в тритионате калия, K₂S₃O₆. Experimental charge density in polythionate anions. I. X-ray study of electron density distribution in potassium trithionate, K₂S₃O₆. Christidis P. C., Rentzeperis P. J., Kirfel A., Will G. «Z. Kristallogr.», 1985, 173, № 1—2, 59—74 (англ.)

*исследование
распределения
электронной
плотности*

Проведено исследование распределения электронной плотности в кристалле K₂S₃O₆ (**I**) по рентгеновским дифракц. данным, полученным ранее (Stewart I. M., Szymanski I. T., «Acta crystallogr.», 1979; B35, 1967). Кристаллы **I** ромбич., *a* 9,794, *b* 13,690, *c* 5,742 Å, *Z* 4, ф. гр. *Pnam*. Уточнение крист. структуры проведено в рамках различных моделей; наилучшие и статистически значимые результаты получены с помощью мультипольной модели Хиршфельда при одновременном уточ-

X. 1986, 19, n 19

нении всех структурных и электронных параметров (R 0,028, R_w 0,026, S 0,86). Карты деформаций электронной плотности (ДЭП) показали, что электронное строение 2 групп SO_3 различно; это объясняено влиянием разного окружения катионов. На серединах σ -связей $S-S$ величина ДЭП уменьшается до $0,1 \text{ э}\cdot\text{A}^{-3}$, общий характер ДЭП здесь близок к установленному ранее для этих же связей в FeS_2 и S_8 . Сделан вывод, что статич. мультипольные ДЭП хорошо согласуются с $X-X$ -синтезами.

В. Г. Цирельсон



K_2SO_4 1985
Plewa Julian,
Steindor Józef.

скороемъ Rudy Met. Nieuwelaar
вераперевод 1985, 30 (II), 443-5.

[
recr. Na_2SO_4 ; ~~lit.~~

$KSO_4 \bar{(P)}$

1985

Рыжиковá Э. F.,

Автограферат гүссермазис
көз сөзкәрең үрекбей ене-

Kp, AfH; Peter R. X. H., Minsk, 1985.

KSD₄-7(2) (Om. 24362) 21217) 1985

Рудников Е.Ю., Сидоров А.Н.,
Ворк О.И.,

DfH,
M.N.,
террас.
п-ки
Пензенская облеках меси ре-
ромыр, 1985, XXIII, №2,
291-299.

KSO_4^-

1985

Rudnyi E.B., Sidorov

L.N., et al.

$\Delta_f H^\circ$

Termodif. Vys. Temp.

1985, 23(2), 291-9.

(crys. SO_3^- ; ?)

KSD4 ~~αγ~~

[OM. 25237]

1985

(в растворе)

Рыжиков С.И., Уланкум
A. II. Liyp.,

Лр
(раствор)

Teoriya, 1985, №4,
534-539.

K₂SO₃

1986

6 Б2065. Структура сульфида калия. The structure of potassium sulfite. Andersen L., Strömberg D. «Acta chem. Scand.», 1986, A40, № 7, 479—480 (англ.)

С целью получения точной структурной модели для энергетич. обсчета в приближении метода МО проведено рентгенографич. уточнение (λ Mo, анизотропный МНК, R 2,8% для 490 отражений) структуры K₂SO₃. Параметры тригон. решетки: a 5,915, c 6,968 Å, ρ (выч.) 2,49, Z 2, ф. гр. $P\bar{3}m1$. Атомы S располагаются в вершинах тригон. пирамид SO₃ (S—O 1,515 Å), атомы K находятся в 6- и 9-кратной координации (K—O 2,583—3,143).

С. В. Соболева

Структура

X. 1987, 19, N6.

LiK₂SO₄

1986

1. 6 E845. Фазовый переход в LiK₂SO₄. Phase transitions in LiK₂SO₄. Filho J. Mendes, Moreira J. E., Melo F. E. A., Germano F. A., Sombra A. S. B. «Solid State Commun.», 1986, 60, № 3, 189—193 (англ.)

III
t₂

Монокристаллы LiK₂SO₄, полученные испарением водного раствора стехиометрич. состава, исследовались методами КРС и измерения диэлектрич. проницаемости в интервале т-р 5—300 К. Обнаружены три фазовых перехода при т-рах 240: 160 и 20 К при охлаждении и 30; 192 и 290 К при нагревании. Анализ полученных результатов совместно с литературными данными позволил заключить, что фаза, устойчивая в диапазоне 160—240 К, является несоразмерной, а также высказать соображения о природе и механизме перехода вблизи 20 К.

Б. Г. А.

Ф. 1987, 18, № 6.

$K_3SO_4^{+}(2)$

Түсаров А. В.,

1986

Автографом доктора медицины
на сорокалетие Ученой степени
доктора химии. Казак, Москва,
1986.

K_p ,
 ΔfH ;

Роль новейших соединений в нарах
металлов. соединений и
переходных свойств металлов.

Li₂SO₄

1986

10 63158. Фазовые превращения в Li₂SO₄. Phase transitions in Li₂SO₄. Mendes Filho J., Moreira J. E., Melo F. E. A., Germano F. A., Sombra A. S. B. «Solid State Commun.», 1986, 60, № 3, 189—193 (англ.)

Методом спектрометрии КР (20—225 K) и путем измерения эл. сопротивления (10—300 K) исследованы фазовые превращения в Li₂SO₄. Зафиксированы 3 превращения с широким гистерезисом, протекающие при т-рах 20, 160 и 240 K при охлаждении и при 30, 192 и 290 K при нагреве. На основе сопоставления полученных данных с результатами более ранних исследований высказаны предположения о структурных особенностях фаз и механизмах перестройки их структур в процессе превращений. Обсуждена возможность формирования в промежут. фазе несоразмерной структуры.

В. Е. Смирнов

X. 1987, 19, N 10.

$K_2SO_3(K)$ (Om. 25049) 1986

$\Delta_f H_f^{\circ}$, $\Delta_{aq} H_f^{\circ}$,
 $H_T - H_{298, 15}$,
 ϱ_p , T_{t2} ,
 $\Delta_{t2} H_f^{\circ}$;

O'Hare P.A.G., Yer-
ser K.J., et al.

J. Chem. Thermodyn.,
1986, 18, N8,
768 - 786.

[Om. 25142]

1986

KHSO₅(K)

Price G.S., Tasker J.R.,
Appelman E.H., et al.,

Cp;

J. Chem. Thermodyn.,
1986, 18, N10, 923-930.

KSD4(17) Сигоров П.Н., Борисев -
СКСИУ П.Я.,
1986

Исследование структур и
энергетики алюминия.

КР, АГН;
алюминиевые сборные
научных трудов Ивановского
Химико-технического институ-
тута,
Иваново, 1986,

98-113. (есть в картотеке)

KzS₂O₈(r) Сидоров Л.Н., Бор-
ищевский Л.Я., 1986

Исследование структуры и
экспрессии молекул.

Kp, ΔγH; Ильинский соборник науч-
ных трудов Ивановского хи-
мико-технического институ-
тута, Иваново, 1986,
98-113. (есть в картотеке)

KSO_4^-

1988

, 109: 217077j The second dissociation constant of sulfuric acid at elevated temperatures from potentiometric measurements. Matsushima, Yoshiyuki; Okuwaki, Akitsugu (Fac. Eng., Tohoku Univ., Sendai, Japan 980). *Bull. Chem. Soc. Jpn.* 1988, 61(9), 3344-6 (Eng). The 2nd dissocn. const. of sulfuric acid in 1 m KCl media was detd. from 25 to 200° by using Debye-Hueckel equation from the data on the emf. of a hydrogen ion-concn. cell. The thermodn. values for the $HSO_4^- = H^+ + SO_4^{2-}$ reaction and the KSO_4^- ion-pair assocn. const. are also presented.

memos.
Japanumpti

① HSO_4^-

C.A. 1988, 109, n 24

K8D₄(2) [om. 31555] 1989

Rudnyi E.B., Vorok O. M.
et al.,

$\Delta_f H$, J. Chem. Thermodyn.,
1989, 21, 247-258.

K2S2O7

1990

(K_P)

114: 130459q Thermodynamic study of formation of complex compounds in the mixture of molten salts: potassium pyrosulfate-vanadium pentoxide. Hatem, G.; Gaune, P. (Lab. Syst. Energ. Transferts Therra., CNRS, 13397 Marseille, Fr.). *Thermochim. Acta* 1990, 173, 177-84 (Fr). By using the exptl. values of the heat of mixing, the cond. and the d. of binary molten salt K₂S₂O₇-V₂O₅ mixts., it is possible to deduce the thermodyn. parameters assocd. with reactions of formation of complex compds.: equil. consts. and enthalpies. The ideal assocd. soln. model was used to give a thermodyn. description of the soln. The binary melt was assumed to consist of K₄(VO₂)₂(SO₄)₂S₂O₇, KV₂SO₄, K⁺, S₂O₇²⁻ and V₂O₅, in equil., giving a quaternary soln. On the basis of the measured conductivities and densities, and under the assumption that free K⁺ and S₂O₇²⁻ are carrying all the current, the equiv. conductance of the mixt. can be calcd. If we assume that the quaternary soln. is ideal (as regards conductance) we can calc. the two equil. consts. By using these results together with the exptl. values for the excess molar enthalpy, the heats of formation of the two complex compds. can be obtained by the least-mean-squares method.

C.A. 1991, 114, N 14

$K_2S_2O_6$

1994

) 12 Б269. Обратимые фазовые переходы в $K_2S_2O_6$ и
 $Rb_2S_2O_6$. Reversible phase transitions in $K_2S_2O_6$ and $Rb_2S_2O_6$.
Chrosch J., Haussühl S. // 15th Eur. Crystallogr. Meet.
(ECM-15), Dresden, 28 Aug. — 2 Sept., 1994: Book Abstr.
— München, 1994. — С. 522. — Англ.

T_{t2}

① ⓧ

X. 1995, N 12

1994

F: K₂S₂O₇

P: 1

5Б2264. Динамика фазовых переходов в оксиде цинка и персульфате калия при высоких давлениях. Dynamics of high pressure phase transitions in zinc oxide and potassium persulphate / Politov A. A., Fursenko B. A., Prosanov I. Yu. // Int. Conf. "Powder Diffr. and Cryst. Chem.", Saint-Petersburg, June 20-23, 1994: Collect. Abstr.-St. Petersburg, 1994. - St. Petersburg, 1994. - С. 71-72. - Англ.

Дифракцией рентгеновских лучей на синхротронном источнике исследована динамика фазовых переходов при высоких давлениях в ZnO и K₂S₂O₇ (I). Обнаружены отличия фазового перехода из фазы высокого давления (тип NaCl) в обычную фазу типа вюрцита для

X. 1996, N 5

чистого ZnO и нестехиометрического ZnO. В чистом ZnO (концентрация примесей ЭКВИВ'10{16} атомов/см{3}) переход в фазу высокого давления происходит при 80 кбар. Обратный переход начинается при 54 кбар. Гистерезис в 30 кбар приписан медленной кинетике реконструктивного фазового перехода. В легированном металлическим цинком ZnO фаза высокого давления исчезает только при обычном давлении, здесь гистерезис достигает 70 кбар. Для I существует вероятность фазового перехода под давлением в новую модификацию..Ttr.

KHSO₄

1994

121: 239444b Thermal study of the phase transitions in potassium hydrogen sulfate KHSO₄. Tahoob, K. K.; Abosehly, A. M.; Abdel-Kader, M. M.; El-Sharkawy, A. A.; El-Mansi, F. M. (Fac. Sci., Al-Azhar Univ., Cairo, Egypt). *Acta Phys. Pol. A* 1994, 86(3), 349-55 (Eng). The authors report on some thermal properties (sp. heat capacity C_p , thermal cond. λ , and thermal diffusivity σ) in addn. to the DTA thermogram and thermogravimetric anal. for potassium hydrogen sulfate, KHSO₄. The accurate measurements of these parameters as functions of temp. revealed that the compd. undergoes two structural phase transitions around 100°C and 175°C. It seems also likely that the compd. behaves as a poorly conducting material and hence the main mechanism of the heat transfer is due to phonons. The data are correlated to the crystal structure including the two different HSO₄⁻ ions.

CP

C.A. 1994, 121, N 20

K₂S₂O₇

1996

Г 21 Б355. Электропроводность, ЯМР, тепловые измерения и фазовая диаграмма системы K₂S₂O₇—KHSO₄. Conductivity, NMR, thermal measurements, and phase diagram of the K₂S₂O₇—KHSO₄ system / Eriksen K. M., Fehrmann R., Hatem G., Gaune-Escard M., Lapina O. B., Mastikhin V. M. // J. Phys. Chem. — 1996. — 100, № 25. — С. 10771—10778. — Англ. . Место хранения ГПНТБ России

С использованием методов термич. анализа, диф. энталпийного анализа, спектроскопии ЯМР, спектрофотометрии и кондуктометрии исследована фазовая диаграмма системы K₂S₂O₇—KHSO₄. Фазовая диаграмма показывает эвтектику при $X_{\text{KHSO}_4} = 0,94$ с т. пл. 205 °C. Не обнаружено образования соед. в исследованной системе. При т-ре 318 °C происходит твердофазный α — β -переход в K₂S₂O₇, с $\Delta_f H = 21,8$ кДж/моль, приводящий к заметному изменению наклона кривой ликвидуса при этой т-ре. Эксперим. фазовая диаграмма хорошо согласуется с фазовой диаграммой, рассчитанной на основе предпо-

(T_{tz}, 1 kHz)

Х. 1996, № 21

ложении об идеальной жидк. смеси. Спектры ЯМР ^{1}H , ^{17}O , ^{35}S и ^{39}K расплавленной системы, полученные при т-рах до 540 °С, указывают на существование в расплаве при всех конц-иях быстрого ионного обмена. Результаты измерения электропроводности указывают, что увеличение мол. электропроводности бинарной системы вероятно связано с делокализацией ионов, обусловливающих проводимость, по сравнению с расплавленными чистыми компонентами.

В. Ф. Байбуз



$KAlD_3^{-2}$

1997

Mironov V.E et al.,

(λ , S^+ ,
 S^+)

Zh. Neorg. Khim. 1997,
42(6), 1029-1030.

(all. $NaS_2 \bullet D_3^{-2}; I$)

1997

F: K-S

P: 1

21Б331. Система калий-серы. The K-S (potassium-sulfur) system / Sangster J., Pelton A. D. // J. Phase Equilibria [бывш. Bull. Alloy Phase Diagr.]. - 1997. - 18, 1. - С. 82-88. - Англ.

Обзор. Рассмотрены результаты исследований фазовой диаграммы системы калий-серы при т-рах 0-1000°C, имеющей шесть эвтектик и показывающей две области несмешиваемости жидкость-жидкость. Обсуждены методы приготовления, крист. структуры, теплоты образования, теплоты плавления и термодинамич. свойства фаз K_2S , $K_2S[2]$, $K_2S[3]$, $K_2S[4]$, $K_2S[5]$ и $K_2S[6]$. Библ. 43.

K₂SiO₇

[Om. 39532]

1998

Gp

Hatem S., Abdour F,
et al;

(300-720K) Thermochem. Acta,
1998, 389, 33-42.